

ми дисперсной фазы приводит к существенному снижению коэффициента гидравлического сопротивления по сравнению с чистой жидкостью.

в трубопроводе, в который они подавались методом выдавливания сжатым воздухом из емкостей.

На фигуре дано сравнение результатов экспериментов с расчетами по (2) для эмульсии с содержанием дисперсной фазы $\beta = 0,6$ (линия 1), линия 2 показывает закон сопротивления для чистой жидкости; видно, что проявляющийся в потоке неустойчивых эмульсий эффект гашения турбулентных пульсаций дисперсионной среды капля-

кой к существенному снижению коэффициента гидравлического сопротивления по сравнению с чистой жидкостью.

Поступила 1 XII 1977

ЛИТЕРАТУРА

1. Левич В. Г. Физико-химическая гидродинамика. М., Физматгиз, 1959.
2. Медведев В. Ф., Медведева Л. П. Турбулентное течение разбавленных эмульсий.— ПМТФ, 1975, № 3, с. 116—120.
3. Медведев В. Ф. Предельное напряжение сдвига эмульсий.— «Инж.-физ. журн.», 1972, т. 24, № 4, с. 715—718.
4. Bingham E. C., Bux U. S. An investigation of the laws of plastic flow.— «Bulletin of the Bureau of Standards», 1916, vol. 13, p. 309—353.
5. Медведев В. Ф. Ламинарное течение плотных эмульсий.— Реф. науч.-техн. сб. ВНИОЭНГ, сер. Транспорт и хранение нефти и нефтепродуктов, 1975, № 3, с. 10—12.
6. Brinkman H. C. The viscosity of concentrated suspensions and solutions.— «J. Chem. Phys.», 1952, vol. 20, N 4, p. 571.
7. Милионников М. Д. Турбулентные течения в пограничном слое и в трубах. М., «Наука», 1969.
8. Милионников М. Д. Турбулентные течения в пристеночном слое и в трубах.— «Атомная энергия», 1970, т. 28, вып. 3, с. 207—220.

УДК 536.25

ЕСТЕСТВЕННАЯ КОНВЕКЦИЯ И ПЕРЕНОС ТЕПЛА В ПОРИСТЫХ ПРОСЛОЙКАХ МЕЖДУ ГОРИЗОНТАЛЬНЫМИ КОАКСИАЛЬНЫМИ ЦИЛИНДРАМИ

B. A. Брайловская, Г. Б. Петражицкий, В. И. Полежаев
(Горький)

Известно, что в мелкодисперсных пористых материалах с сообщающимися порами, заполненными жидкостью или газом, при определенных условиях возникает крупномасштабная (по отношению к размерам пор) естественная конвекция, которая может существенно влиять на теплоизоляционные свойства этих материалов. Исследования средних характеристик переноса тепла через

плоские горизонтальные и вертикальные слои пористого материала и сопоставление их с опытными данными выполнены в работах [1—4].

В данной работе численно исследуется влияние конвекции на теплообмен в пористых кольцевых прослойках, являющихся элементами многих технических конструкций (теплоизоляция емкостей трубопроводов, кабелей и др.). Перенос тепла в кольцевых прослойках компрессионных электропечей исследовался в работах [5, 6]. Для однородных кольцевых прослоек, заполненных жидкостью или газом, исследования выполнены в работах [7, 8].

1. Кольцевая прослойка мелкодисперсного изотропного пористого материала образована двумя горизонтальными коаксиальными цилиндрами, на внешней и внутренней поверхностях которых поддерживаются постоянные температуры T_2 и T_1 соответственно.

Для расчета поля течения и переноса тепла используются уравнения конвекции в приближении Буссинеска, причем поверхностная сила трения заменяется эквивалентной объемной силой сопротивления в соответствии с законом Дарси [9]. Для стационарного режима конвекции эта система имеет вид

$$(1.1) \quad \begin{aligned} \mu v/k &= -\nabla p + \rho g \beta \Delta T, \\ \operatorname{div} \mathbf{v} &= 0, \quad \rho c_p (\mathbf{v} \nabla) T = \lambda^* \nabla^2 T, \end{aligned}$$

где ρ — плотность; β — коэффициент объемного расширения; μ — динамический коэффициент вязкости; \mathbf{v} — скорость; c_p — удельная теплоемкость газа жидкости, заполняющего поры; λ^* — теплопроводность пористой среды без учета конвекции; p — отклонение давления от статического; T — средняя температура среды; ΔT — разность между местной и некоторой характерной температурами; k — коэффициент проницаемости пористой среды.

Определяя, как обычно, функцию тока ψ соотношениями $u = \partial \psi / \partial y$, $v = -\partial \psi / \partial x$ (u и v — проекция скорости \mathbf{v} на оси x и y) и исключая давление из уравнений движения (1.1), запишем в полярной системе координат в безразмерном виде систему уравнений для функции тока и температуры Θ

$$(1.2) \quad \begin{aligned} \frac{\partial^2 \psi}{\partial r^2} + \frac{1}{r} \frac{\partial \psi}{\partial r} + \frac{1}{r^2} \frac{\partial^2 \psi}{\partial \varphi^2} &= -Ra^* \left(\frac{\partial \Theta}{\partial r} \cos \varphi - \frac{1}{r} \frac{\partial \Theta}{\partial \varphi} \sin \varphi \right), \\ \frac{\partial^2 \Theta}{\partial r^2} + \frac{1}{r} \frac{\partial \Theta}{\partial r} + \frac{1}{r^2} \frac{\partial^2 \Theta}{\partial \varphi^2} &= \frac{1}{r_1} \left(\frac{\partial \psi}{\partial \varphi} \frac{\partial \Theta}{\partial r} - \frac{\partial \psi}{\partial r} \frac{\partial \Theta}{\partial \varphi} \right), \end{aligned}$$

где $Ra^* = g \beta k \rho^2 c_p \Delta T / \mu \lambda^*$ — фильтрационное число Рэлея, являющееся аналогом критерия Рэлея для пористой среды.

В качестве масштабов для приведения к безразмерному виду выбраны следующие величины: масштаб длины $\delta = R_2 - R_1$, скорости a^*/δ ($a^* = \lambda^* / c_p \rho$), температуры $\Delta T = T_2 - T_1$, давления $\mu a^*/k$.

Границные условия имеют вид

$$\left. \begin{array}{l} \psi = 0 \text{ при } r = r_1, r_2, \\ \Theta = 0 \text{ при } r = r_1, \\ \Theta = 1 \text{ при } r = r_2 \end{array} \right\} -\pi/2 \leq \varphi \leq \pi/2,$$

$$\frac{\partial \Theta}{\partial \varphi} = 0 \quad \text{при } r_1 \leq r \leq r_2, \quad \varphi = \pm \pi/2.$$

Последнее условие означает симметрию относительно вертикальной оси, проходящей через центр области. Это условие и двумерный характер полей — основные предположения, которые могут не выполняться при

больших значениях Ra^* . Определение диапазона применимости этих предположений требует дополнительных исследований.

2. Конечно-разностная схема для численного решения системы (1.2) строится методом баланса, который применялся ранее для расчета естественной конвекции в однородных средах [7, 8]. Для этого каждое уравнение системы интегрируется по элементарной ячейке сетки. Сетка вводится координатами

$$\begin{aligned} r_i &= r_1 + i\Delta r, \quad i = 0, 1, 2, \dots, l, \\ \varphi_j &= -\pi/2 + j\Delta\varphi, \quad j = 0, 1, 2, \dots, m. \end{aligned}$$

По формулам Грина часть двумерных интегралов преобразуется в криволинейные интегралы по границе ячейки, которые затем меняются конечными суммами. Остальные интегралы вычисляются по теореме о среднем, при этом производные в центральной точке получаются как средние арифметические значения производных на четырех сторонах ячейки. Стационарное решение системы (1.2) находится методом установления с помощью итераций по некоторому параметру, аналогичному времени.

В качестве начальных условий задается нулевое поле функций тока $\psi(r, \varphi) = 0$ и логарифмический профиль температуры между нагретой и холодной стенками, характерный для режима теплопроводности.

Решение конечно-разностных уравнений выполняется по явной схеме метода Зайделя [10]. Разностный аналог системы (1.2) имеет вид

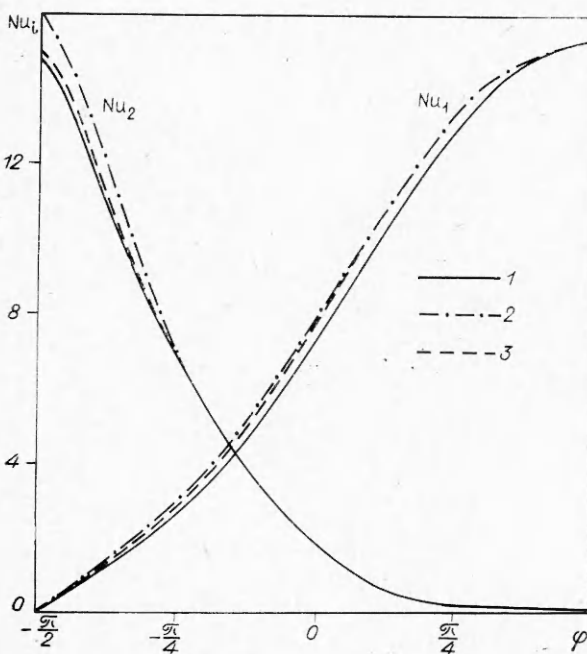
$$\begin{aligned} z_{i,j}^{n+1} &= z_{i,j}^n + \Delta\tau\Phi(z_{i,j}^n; z_{i+1,j}^n; z_{i,j+1}^n; z_{i,j-1}^n; z_{i-1,j}^n), \\ z_{i,j}^n &= z(r_i, \varphi_j, \tau_n), \quad \tau_n = n\Delta\tau, \quad n = 0, 1, 2, \dots, \end{aligned}$$

где Φ — разностный оператор системы, аппроксимирующей (1.2).

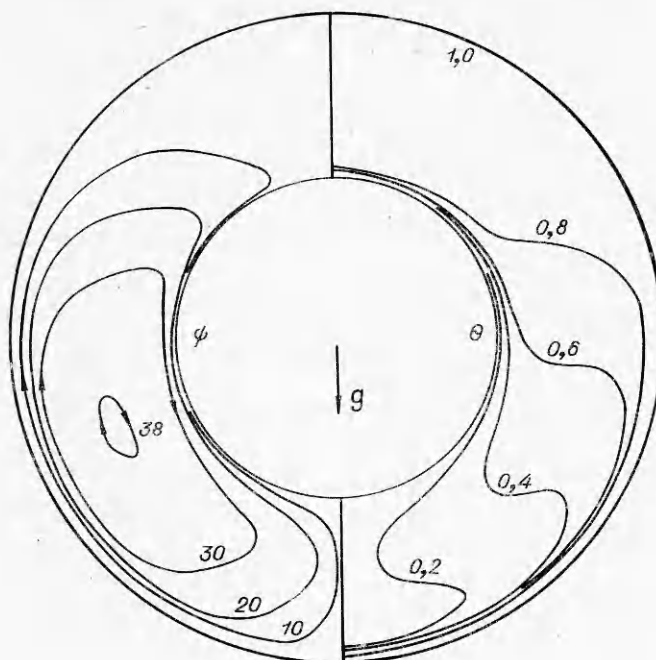
Итерационный шаг $\Delta\tau$ выбирается из условий устойчивости схемы, полученных методом Фурье, и корректируется при практических расчетах для различных значений критерия Рэлея.

Численная реализация системы уравнений (1.2) обладает некоторой спецификой, заключающейся в большей чувствительности схемы к сеточным параметрам по сравнению со случаем расчета конвекции однородной жидкости [7, 8], что обусловлено спецификой как самой системы (1.2), так и граничных условий для поля скорости ($\partial\psi/\partial n \neq 0$ в отличие от [7, 8]).

Проведенные методические расчеты позволили выявить необходимые сеточные параметры для получения достаточно точных решений. Контроль



Фиг. 1



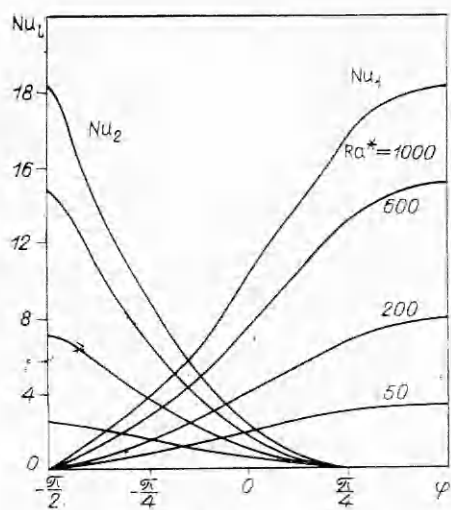
Фиг. 2

точности вычислений, помимо сопоставления решений на различных сетках, осуществляется путем проверки невязок интегральных балансов тепла на внешней и внутренней поверхностях слоя. Основные расчеты проводились на разностной сетке 22×22 , для относительно тонких про-слоек — 16×30 для половины кольцевой области.

Приведенные ниже результаты относятся к случаю $T_2 > T_1$ (внешний цилиндр имеет более высокую температуру). В случае, когда нагрет внутренний цилиндр, поле температур симметрично относительно луча ($\varphi = 0$).

На фиг. 1 ($Ra^* = 600$, $r_2/r_1 = 2$) показано изменение локальных чисел Нуссельта $Nu_i(\varphi)$ вдоль внешней ($i = 2$) и внутренней ($i = 1$) поверхностей, полученных на трех различных сетках. Числа Nu_i определяются как безразмерные температурные градиенты на границах области и аппроксимируются трехточечными формулами внутрь области второго порядка точности. Как видно из фиг. 1, на слишком грубой по радиусу сетке результаты завышены, причем максимальное отличие локальных тепловых потоков на сетках 17×17 (кривая 3) и 16×30 (кривая 2) по срав-нению с результатами на сетке 22×22 (кривая 1) составляет 10%.

3. Типичная картина стационарного движения и поля температур в рассматриваемой области показана на фиг. 2 ($Ra^* = 1000$, $r_2/r_1 = 2$). Естественная фильтрация жидкости в пористой среде, как видно из картины линий тока ψ слева на фиг. 2, происходит, как и в однородной среде, по серпообразным траекториям вверх вдоль нагретой внешней стенки и вниз вдоль холодной внутренней. В верхней части полости образуется нагретая застойная зона, которая хорошо видна как по картинам линий тока, так и изотерм справа на фиг. 2. Температура в верхней части по-лости выше, что вызывает перенос тепла вдоль слоя. С увеличением филь-трационного числа Рэлея интенсивность конвективного течения и темпе-ратурное расслоение увеличиваются, что приводит при некоторых числах



Фиг. 3

Рэлея к образованию областей с обратным градиентом температур. Температурное расслоение оказывает существенное влияние на развитие пограничных слоев и, следовательно, на распределение потоков тепла на холодной и нагретой поверхностях.

Распределения местных чисел Нуссельта вдоль внутренней и внешней границ области при различных значениях фильтрационного числа Рэлея представлены на фиг. 3 ($r_2/r_1 = 2$). Максимальные локальные потоки тепла реализуются на начальном участке потоков жидкости, омывающих холодную и горячую стенки. По мере увеличения толщины пограничных слоев локальные числа Нуссельта уменьшаются, достигая при $\varphi = \pm\pi/2$ на горячей и при $\varphi = -\pi/2$ на холодной поверхности значений, меньших, чем соответствующие потоки в режиме чистой теплопроводности. Как следует из фиг. 3, эта неравномерность потоков тепла на границах увеличивается с ростом Ra^* . Такая же тенденция имеет место и при увеличении r_2/r_1 (фиг. 4, $Ra^* = 200$), поэтому сведения только о средних значениях конвективной теплопередачи ($\langle Nu \rangle$ или ε_k) могут быть недостаточны, например, для расчета нагрева конструкций, защищенных пористой изоляцией.

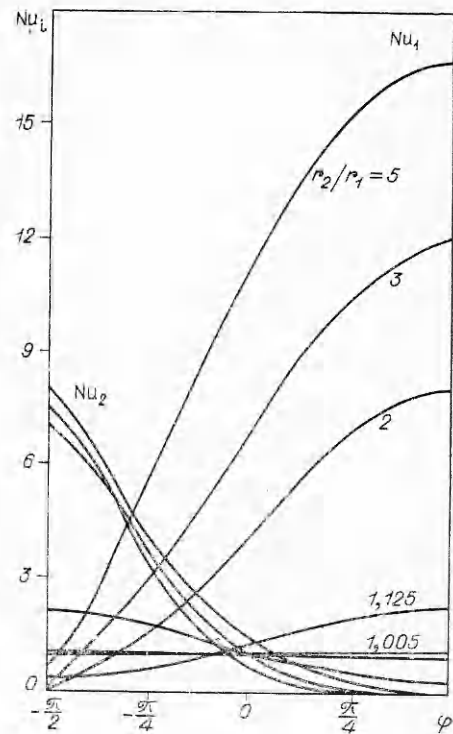
Основной искомой величиной, представляющей интерес для технических приложений, является коэффициент конвекции ε_k , равный отношению среднего потока тепла через прослойку при наличии конвекции к потоку тепла в режиме теплопроводности. Критериальное уравнение для коэффициента конвекции имеет вид

$$\varepsilon_{k_i} = \varepsilon_{k_i}(Ra^*, r_2/r_1),$$

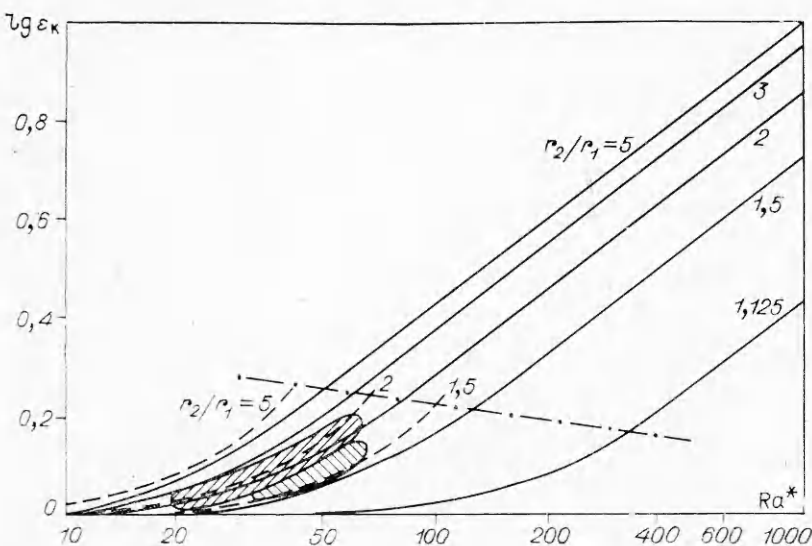
где

$$\varepsilon_{k_i} = \langle Nu_i \rangle r_i \ln r_2/r_1, \quad i = 1, 2,$$

$$\langle Nu_i \rangle = \frac{1}{\pi} \int_{-\frac{\pi}{2}}^{\frac{\pi}{2}} \left(\frac{\partial \Theta}{\partial r} \right)_i d\varphi.$$



Фиг. 4



Фиг. 5

Зависимость коэффициента конвекции от фильтрационного числа Рэлея при различных значениях величины относительной ширины зазора r_2/r_1 представлена на фиг. 5. Как и в случае конвекции в однородном слое жидкости или газа [7, 8], здесь можно выделить три режима: режим теплопроводности (малые значения Ra^*), промежуточный и режим пограничного слоя.

Штриховыми линиями на фиг. 5 даны результаты аналитического решения [5], справедливого при малых Ra^* . Заштрихованными областями показаны (с учетом разброса) экспериментально измеренные значения коэффициента конвекции [5, 6], полученные в проницаемой теплоизоляции (засыпка песка и графита $k \sim 1,3 \cdot 10^{-9}$ и $k \sim 8 \cdot 10^{-9} \text{ м}^2$ соответственно) в атмосфере азота и аргона при давлении до 130 атм при двух геометриях кольцевого слоя ($r_2 = 26,9 \text{ мм}$, $r_1 = 13,5 \text{ мм}$ и $r_2 = 32,5 \text{ мм}$, $r_1 = 17,5 \text{ мм}$). Для каждого соотношения r_2/r_1 из фиг. 5 можно определить значения фильтрационного числа Рэлея Ra_0^* , начиная с которых, роль конвекции в теплообмене становится ощутимой. В таблице представлены значения Ra_0^* , при которых коэффициент конвекции отличается от единицы на 5%.

В режиме пограничного слоя (отделен штрихпунктирной линией) зависимость коэффициента конвекции от числа Рэлея степенная: $\varepsilon_k = c(Ra^*)^{0.57}$, причем c является функцией отношения радиусов r_2/r_1 и при $1,2 \leq r_2/r_1 \leq 3$ имеет вид $c = 0,406 (\lg r_2/r_1)^{0.685}$.

Наибольшие изменения коэффициента конвекции наблюдаются при изменении r_2/r_1 в интервале $1,005 \leq r_2/r_1 \leq 2,5$, при этом чем больше Ra^* , тем сильнее влияет на величину ε_k отношение радиусов r_2/r_1 . Для относительно широких прослоек ($3 \leq r_2/r_1 \leq 8$) ε_k практически не зависит от геометрии.

r_2/r_1	5	3	2	1,5	1,125	1,005
Ra_0^*	12	14	20	37	100	2000

Таким образом, результаты численных исследований показывают, что, как и в плоских прослойках [2, 3], особенностью конвекции в кольцевых пористых прослойках (по сравнению со случаем однородной среды) является более сильная зависимость среднего теплового потока через слой числа Рэлея и геометрии, а также существенно большая неравномерность распределения местных потоков тепла на границах области.

Авторы выражают благодарность В. Л. Мальтеру за предоставленные экспериментальные данные и полезные обсуждения результатов работы.

Поступила 16 XI 1977

ЛИТЕРАТУРА

1. Combarnous M. Convection naturelle et convection mixte dans une couche poreuse horizontale. — «Revue generale de thermique», 1970, vol. 9, N 108, p. 1355—1376.
2. Власюк М. П., Полежаев В. И. Исследование переноса тепла при естественной конвекции в пропицаемых пористых материалах. — В кн.: Тепло- и массообмен. Т.1. Ч.2, Минск, изд. Ин-та тепло- и массообмена АН БССР, 1972.
3. Власюк М. П., Полежаев В. И. Естественная конвекция и перенос тепла в пропицаемых пористых материалах. Препринт № 77 ИПМ АН СССР, 1975.
4. Elder Y. W. Steady free thermal convection in a porous medium heated from below. — «J. Fluid. Mech.» 1976, vol. 27, pt 1, p. 29—48.
5. Мальтер В. Л., Антропова З. М., Петрова Л. В., Костенок О. М. Теплообмен в электрических печах сопротивления с высоким давлением газа. — В кн.: Исследования в области промышленного электронагрева. Вып. 4. М., «Энергия», 1970.
6. Мальтер В. Л., Морозов В. П., Пушкин А. Л., Костенок О. М. Расчет конвективного теплопереноса в футеровках печей с использованием коэффициента газопроницаемости. — В кн.: Электротехническая промышленность. Вып. 7 (143). М., Информэлектро, 1974.
7. Петражицкий Г. В., Бекнева Е. В., Брайловская В. А., Станкевич Н. М. Численное исследование течения и теплообмена при движении вязкого теплопроводного сжимаемого газа в горизонтальном кольцевом канале под действием массовых сил. — В кн.: Труды второй республиканской конференции по аэрогидромеханике, теплообмену, массообмену. Киев, изд. Киевск. ун-та, 1971.
8. Брайловская В. А., Петражицкий Г. В. Тепловая ламинарная конвекция жидкости в кольцевой области при заданном потоке тепла. — ПМТФ, 1977, № 3.
9. Horton C. W., Rogers F. T. Convection currents in a porous medium. — «J. Appl. Phys.», 1945, vol. 16, p. 367—370.
10. Березин И. С., Жидков П. П. Методы вычислений. М., «Наука», 1966.

УДК 536.42+536.421+518.517

АНАЛИТИЧЕСКОЕ ОПИСАНИЕ КРИСТАЛЛИЗАЦИИ БИНАРНЫХ СПЛАВОВ

T. A. Черепанова

(Riga)

В работах [1, 2] разработан подход для аналитического описания кристаллизации бинарных систем. При этом диффузионные процессы у межфазной границы предполагались протекающими столь интенсивно, что концентрация в расплаве не зависела от локальной конфигурации границы раздела. Такое приближение физически обосновано, если процесс кристаллизации лимитируется его кинетической стадией. В случае, когда характерная скорость диф-